

تأثیر تابش لیزر Nd:YAG بر سیل آپیکالی در دندان های درمان ریشه شده

دکتر محمد مهدی یاقوتی خراسانی^{*}، دکتر علیرضا تقدبی‌شبانی^۱

چکیده

مقدمه: سیل آپیکالی نقش مهمی در موفقیت درمان کanal ریشه دارد و لایه اسمری باعث کاهش سیل آپیکالی می شود. هدف این مطالعه بررسی آزمایشگاهی تأثیر تابش لیزر (Nd:YAG (Neodymium-doped yttrium aluminum garnet) بر سیل آپیکالی، در دندان های درمان ریشه شده، با استفاده از روش fluid filtration بود.

مواد و روش ها: در این مطالعه آزمایشگاهی تعداد ۴۴ دندان سانترال ماگزیلای انسانی انتخاب شد. بعد از آماده سازی، نمونه ها به صورت تصادفی به چهار گروه: گروه A: شاهد (n=۲۰)، گروه B: لیزر (n=۲۰)، گروه C: کنترل مثبت (n=۲) و گروه D: کنترل منفی (n=۲) تقسیم شدند تمامی گروه ها به روش Crown down آماده سازی شدند. گروه B قبل از پرکردن تحت تابش لیزر Nd:YAG قرار گرفت. گروه های B,A و D بوسیله گوتا پرکا و سیلر و گروه C با گوتا پرکا و بدون سیلر پر شدند. انتهای کرونالی نمونه ها توسط آمالگام سیل و پس از آن به مدت یک هفته در انکوباتور نگه داری شدند. سپس سطح خارجی نمونه های گروه های A و C را به جز دو میلی متر آپیکالی آن ها و نمونه های گروه D را تماماً توسط دو لایه لاک و یک لایه موم چسب مذاب پوشانده شدند. در ادامه میزان ریز نشت آپیکالی با روش fluid filtration سنجیده شد. داده ها به وسیله آزمون آماری کولموگروف-اسمیرنوف و آزمون t مستقل آنالیز شدند ($\alpha=0.05$).

یافته ها: میانگین ریز نشت آپیکالی در گروه لیزر و شاهد به ترتیب $4/35 \pm 2/88$ و $5/24 \pm 2/13$ $\mu\text{L}/\text{min}/\text{cm H}_2\text{O}$ به دست آمد، که از لحاظ آماری معنی دار نبود.
(p-value=0.305)

نتیجه گیری: با توجه به محدودیت های پژوهش حاضر نتایج مطالعه فعلی نشان داد که کاربرد لیزر Nd:YAG در درمان کanal ریشه بر روی میزان ریز نشت آپیکالی تاثیری ندارد.
کلید واژه ها: لایه اسمری، لیزر Nd:YAG، نشت.

* استادیار، گروه اندودتیکس،
دانشکده دندانپزشکی، دانشگاه علوم
پزشکی رفسنجان، رفسنجان، ایران
(مؤلف مسؤول)
m.yaghooti@yahoo.com

۱. دندانپزشک، رفسنجان، ایران

این مقاله در تاریخ ۹۳/۷/۲۱ به دفتر
مجله رسیده، در تاریخ ۹۳/۱۱/۱۲
اصلاح شده و در تاریخ ۹۳/۱۲/۱۲ تأیید
گردیده است.

مجله دانشکده دندانپزشکی اصفهان
۱۴۹۴، ۱۱(۳)، ۲۴۰-۲۴۸.

مقدمه

قسمت اعظم درمان ریشه برداشت دبری‌های آلی و غیر آلی متعاقب فایلینگ مناسب فضای کanal و مهر و موم کردن این فضا از بافت‌های اطراف دندان است. در واقع هدف اصلی دستیابی به یک سیل کامل کرونالی - آپیکالی است. سیل مناسب ناحیه آپیکال یک موضوع مهم در پیشگیری از ریز نشت و عفونت مجدد سیستم کanal ریشه می‌باشد [۱،۲]. نشان داده شده است که نشت آپیکالی یک دلیل عمدۀ برای شکست درمان ریشه است و عموماً مرتبط با برداشت ناکامل لایه اسмیر است [۳-۵].

حضور لایه اسمیر موقعيت درمان ریشه را تحت تأثیر قرار می‌دهد و ریز نشت آپیکالی ناشی از آن ممکن است باعث شکست درمان اندو شود. ریز نشت کanal ریشه به عبور باکتری، مایعات و مواد شیمیایی از بین دندان و ماده‌ی پرکردگی کanal ریشه اطلاق می‌گردد. دو دلیل بالقوه برای ریز نشت وجود دارد: لیکیج بین گوتاپرکا و سیلر و لیکیج بین سیلر و دیواره کanal [۶]. نشان داده شده است بیشترین ریز نشت بین سیلر و دیواره کanal ریشه می‌باشد [۷]. به طور تکنیکی لایه اسمیر ممکن است مانع از نفوذ گوتاپرکا به درون توبول‌های عاجی شده و از چسبندگی و نفوذ سیلر به درون توبول‌های عاجی جلوگیری کند [۸].

این لایه عمدتاً ترکیبی از قطعات عاجی، بقایای آلی، سولول‌های ادنتوبلاستی، میکروارگانیسم‌ها و محصولات متاپولیک آن‌ها می‌باشد [۹] و خود به دو لایه تقسیم می‌شود: بخش سطحی لایه اسمیر که چسبندگی ضعیفی به لایه زبرین دارد و به آسانی کنده می‌شود و یک لایه عمیق‌تر لایه اسمیر که محکم به عاج متصل است و حتی به درون توبول‌های عاجی نفوذ می‌کند [۱۰]. لایه اسمیر به دیواره‌های عاجی باند شده و به دنبال آن توبول‌های عاجی را مسدود می‌کند و نفوذپذیری عاجی را کاهش می‌دهد. همچنین این لایه می‌تواند از نفوذ داروهای داخل کanal به درون عاج حتی موقعی که شوینده‌های شیمیایی به همراه روش‌های مکانیکی استفاده می‌شوند، جلوگیری کند [۱۱] و به علاوه مانع اتصال کامل بین دیواره‌های عاجی و مواد پرکردگی می‌شود [۸]. هنگامی که لایه اسمیر برداشته نمی‌شود، لایه مذکور ممکن است به آرامی

در اطراف پرکردگی دارای نشت تجزیه و حل شود یا ممکن است این لایه توسط باکتری‌ها یا تولیدات آن‌ها از قبیل اسید و آنزیم‌ها حذف گردد [۱۲].

روش متداول برداشت لایه اسمیر بیشتر توسط مواد دکلسفیله کنده مانند چلاتورها (EDTA: Ethylene diamine tetra acetic acid) می‌باشد [۱۳]. اخیراً تکنولوژی‌های جدیدی وارد بازار شده‌اند که ممکن است باعث افزایش میزان موقعيت درمان شوند و استفاده از لیزر که یک فن آوری نو ظهور است، در همین راستا می‌باشد.

هدف از پرکردن کanal برقراری یک سیل کامل آپیکالی می‌باشد که مانع از نفوذ میکروارگانیسم‌ها و تولیدات آن‌ها و مایعات ارگانیک به درون کanal شود. این لیزر Nd:YAG می‌تواند لایه اسمیر را برداشته و توبول‌های عاجی را سیل نماید، بنابراین نفوذ عاجی را کاهش می‌دهد [۱۴، ۱۵]. لیزر Nd:YAG می‌تواند توسط ساختارهای معدنی مانند فسفات و هیدروکسی آپاتیت جذب شود و ساختارهای کربیستالی را به واسطه خاصیت شیمیایی - حرارتی خود بشکند. تغییرات بافتی مشخصاً به وسیله فرآیند ذوب و تشکیل مجدد سطح عاج می‌تواند توانایی سیل را بهبود بخشد و نفوذ عاجی را کاهش دهد. نشان داده شده است که استفاده از لیزر Nd:YAG همراه با فایلینگ دستی می‌تواند کanal‌های ریشه‌ای فاقد لایه اسمیر و بقایای بافتی ایجاد کند [۱۶، ۱۷].

در یک مطالعه نشان داده شد که تابش لیزر Nd:YAG پس از آماده سازی کanal، نشت آپیکالی را پس از پر کردن کanal کاهش داد [۱۸]. در مطالعه دیگری مشخص گردید که تابش لیزر (Erbium-doped Er:YAG nm ۰.۹۶ / ۰.۹۴) و لیزر دیود (yttrium aluminum garnet diode) نفوذپذیری عاج را افزایش و لیزر Nd:YAG nm ۰.۸۰۸ نفوذپذیری عاج را افزایش و لیزر Nd:YAG nm ۰.۱۰۶ این نفوذپذیری را کاهش می‌دهد [۱۹]. از طرفی در مطالعه Depraet Hمراه با جوهر سیاه میزان ذوب و انسداد نواحی عاجی را در مقایسه با حالت عدم استفاده از جوهر سیاه افزایش داد. البته لیزر Nd:YAG Hمراه با جوهر سیاه منجر به کاهش ریزنشت کرونالی و آپیکالی نگردید [۲۰]. بنابراین مطالعه حاضر

گروه A: گروه لیزر که شامل ۲۰ دندان بود که قبل از پر شدن تحت تابش اشعه لیزر قرار گرفتند. در این گروه دیواره کanal‌ها پس از آماده سازی به روش دستی به آزمایشگاه منتقل و مسترکن می‌باشد. سیلر طبق دستورالعمل شرکت سازنده آماده و گوتای فرعی پر و سپس اضافات گوتا با یک پلاگر داغ برداشته شد.

گروه B: گروه لیزر که شامل ۲۰ دندان بود که قبل از پر شدن تحت تابش اشعه لیزر قرار گرفتند. در این گروه دیواره کanal‌ها پس از آماده سازی به روش دستی به آزمایشگاه منتقل و با رعایت اصول ایمنی توسط لیزر (Nd:YAG Fontana, Fields plus III, Ljubljana, Slovenia) اشعه دریافت کردند. لیزر مذکور بر اساس پارامترهای ذیل: طول موج ۱۰۶۴nm؛ زمان پالس ۱۰۰ میکرو ثانیه؛ انرژی هر پالس ۱۰۰ میلی جول؛ بسامد ۱۵ هرتز و توان خروجی ۱/۵ وات تنظیم گردید. پرتو لیزر توسط فیبرنوری ۲۰۰ میکرومتر تابانیده شد. تابش اشعه به وسیله فیبرنوری در تمام طول کanal ریشه انجام گردید. لیزر مذکور به همه دیواره‌های عاجی از ناحیه آپیکال تا سروپیکال به صورت حرکت مارپیچی به مدت ۵ ثانیه و با سرعت ۲ میلیمتر بر ثانیه از آپکس به سمت کرونال تابانیده شد. فرآیند تابش برای هر دندان چهار بار تکرار و پس از هر بار تابش، نمونه‌ها به مدت ۲۰ ثانیه در دمای اتاق به منظور جلوگیری از افزایش دمای مجاز نگه داری شدند. پس از تابش، نمونه‌های این گروه نیز همانند گروه شاهد پر شدند [۲۰، ۲۱].

گروه C: گروه کنترل مثبت که دو نمونه این گروه پس از آماده سازی، فقط توسط گوتاپرکا و بدون استفاده از سیلر پر شدند.

گروه D: گروه کنترل منفی که دو نمونه این گروه پس از آماده سازی، توسط گوتاپرکا و سیلر به مانند گروههای شاهد و لیزر پر شدند.

در مرحله‌ی بعد جهت برقراری سیل کرونالی به کمک فرز فیشور الماسی در قسمت کرونالی نمونه‌های هر چهار گروه موجود، یک حفره Class I به عمق ۱/۵ میلیمتر تراشیده و پس از شستشو و خشک کردن توسط پوآر آب و هوا به کمک دو لایه وارنیش (Hoffmanns, Hamburg, Germany) و آملکام (Aryadent, Tehran, Iran) آزمایش به چهار گروه تقسیم شدند:

گروه A: گروه شاهد شامل ۲۰ دندان بود که پس از آماده سازی و پاکسازی کanal، جهت حذف لایه اسمری در آنها از ۵ میلی لیتر EDTA ۱۷٪ و پس از آن از ۵ میلی لیتر NaOCl ۲/۵٪ استفاده شد. پرکردن کanal‌های گروه شاهد توسط گوتاپرکا

مواد و روش‌ها

برای انجام این تحقیق آزمایشگاهی تعداد ۴۳ دندان سانترال ماگزیلای انسانی کشیده شده، جمع آوری گردید. دندان‌ها ابتدا از نظر مacroscopic و نیز توسط رادیوگرافی از دو جهت مزبودیستال و باکولینگوال مورد بررسی قرار گرفتند تا دندان‌های دارای کرو شدید ریشه، ریشه‌های خیلی کوتاه یا خیلی بلند، تحلیل خارجی و داخلی، شکستگی ریشه، شکستگی آپکس، آپکس باز یا تشکیل نشده، کلسیفیکاسیون شدید داخل کanal، پالپ استون، آپکس دو شاخه و کanal فرعی از مطالعه خارج شده و دندان‌های با طول بین ۱۹ تا ۲۰ میلیمتر انتخاب شدند، سپس سطح آن‌ها به کمک کورت پریودنتال (Hu-friedy immunity, Chicago, USA) از دبری‌ها پاک سازی و جهت ضد عفونی به مدت یک ساعت در محلول هیبوکلریت سدیم (NaOCl) ۵٪ (Golrang, Ghazvin, Iran) غوطه ور و پس از شستشو با آب تا هنگام شروع آزمایش نمونه‌ها در محلول نرمال سالین نگه داری شدند.

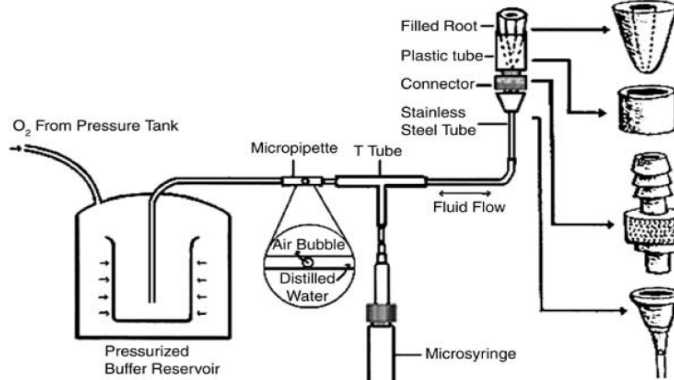
تابج تمام دندان‌ها از ناحیه Junction: CEJ (Tug of war junction: Mailiefer Co. Switzerland) نسج پالپ بطور کامل از کanal ریشه خارج شد و ریشه دندان‌ها با استفاده از روش آماده سازی Crown Down (Crown Down توسط Mami Tochigi, Japan) اینسترومانت شده و با ۲/۵٪ NaOCl (Golrang, Ghazvin, Iran) شستشو شدند. طول کارکرد هر کanal ریشه ۱ mm کوتاه‌تر از آپکس رادیوگرافیک در نظر گرفته و آماده سازی تا فایل شماره ۳۵ و فلیرینگ نیز تا فایل شماره ۷۰ انجام شد. بعد از فرآیند آماده سازی، کanal‌ها توسط کن کاغذی (Aryadent, Tehran, Iran) خشک شده و نمونه‌های تحت

آزمایش به چهار گروه تقسیم شدند:

گروه B: گروه شاهد شامل ۲۰ دندان بود که پس از آماده سازی و پاکسازی کanal، جهت حذف لایه اسمری در آنها از ۵ میلی لیتر EDTA ۱۷٪ و پس از آن از ۵ میلی لیتر NaOCl ۲/۵٪ استفاده شد. پرکردن کanal‌های گروه شاهد توسط گوتاپرکا

بین دندان و شیلنگ، چسب سیانوآکریلات (Razi, Karaj, Iran) استفاده شد. سپس نمونه‌های آماده شده به آزمایشگاه منتقل شدند. در آن جا ابتدا درون شیلنگ‌های متصل شده به دندان با کمک سرنگ آب ریخته و نمونه‌ها به سه راهی هیدرولیک دستگاه وصل گردید. در این سیستم [۲۴] به کمک سرنگ هوا درون لوله‌ی مدرج حاوی آب، حباب هوایی ایجاد گردید. بر روی لوله مدرج نقطه تشکیل حباب هوایی مناسب (از لحاظ اندازه و موقعیت) به عنوان نقطه رفرنس تعریف می‌گردد. شیر کنترل سیستم باز شده و اکسیژن با فشار $1/2$ bar از یک سر دستگاه وارد آب گردید. بدین ترتیب آب و حباب هوایی موجود در آن در اثر فشار هوایی وارد تمايل به جا به جایی داشتند. پس از به 30 ثانیه حباب ثابت و دستگاه Expand گردد. پس از 30 ثانیه اولین عکس بوسیله دوربین دیجیتال (Olympus, Tokyo, Japan) و با توجه به نقطه رفرنس حباب گرفته شد. 360 ثانیه (6 دقیقه) پس از عکس اول، عکس دوم ثبت شد (شکل ۱). طبق مطالعه Cobankara و همکاران [۲] و Usuzmez و همکاران [۲۵] میزان نشت در فواصل 2 , 4 , 6 و 8 دقیقه بررسی شده است، لذا به جهت صرفه جویی در هزینه از بین زمان حداقل (2 دقیقه) و زمان حداکثر (8 دقیقه) با مشورت متخصص آمار، زمان میانگین در نظر گرفته شد (6 دقیقه) و آزمایش در این فاصله زمانی انجام گردید.

(Sinalux, Tehran, Iran) پر شدن، سپس نمونه‌ها به دستگاه انکوباتور منتقل و در دمای 37°C درجه سانتی گراد و رطوبت 100% به مدت یک هفته نگهداری شدند تا سیلرها بطور کامل ست شوند. سپس تمامی سطوح خارجی نمونه‌های گروه شاهد، لیزر و کنترل مثبت به جز دو میلی متر آپیکالی آن‌ها توسط دو لایه لامپ ناخن (Saviz, Tehran, Iran) و یک لایه موم چسب (Hoffmanns, Hamburg, Germany) مذاب پوشانیده شد و در گروه کنترل منفی تمامی سطوح خارجی نمونه‌ها توسط دو لایه لامپ ناخن و یک لایه موم چسب مذاب پوشانیده شد [۲۲-۲۳]. در واقع هدف از کاربرد لامپ و موم چسب ایجاد سیل مناسب و ممانعت از ریزنشت (Microleakage) در نواحی استفاده از مواد فوق، در مقابل تست‌های بررسی ریزنشت از جمله روش Fluid filtration می‌باشد. بنابراین در سه گروه A, B, C تمامی سطح ریشه بجز 2 میلیمتر انتهای ریشه بوسیله موم و لامپ پوشانده شده است و بدین ترتیب تنها در این 2 میلیمتر امکان ریزنشت وجود خواهد داشت و در گروه D (کنترل منفی) که تمام سطح ریشه پوشانده شده است، هیچ امکانی برای ریزنشت وجود نخواهد داشت. البته این روش مطابق روش مطالعه Depraet و همکاران می‌باشد [۲۰]. پس از آن نمونه‌ها را با فشار از قسمت آپیکالی وارد لوله‌های پنوماتیک (Poly urethane 6mm نموده و برای سیل حد فاصل



شکل ۱: شکل شماتیک دستگاه مورد استفاده برای تست Fluid filtration

مشاهده می‌شد. هر چه حباب‌ها (voids) در حد فاصل ماده پرکردگی و دیواره‌ی کanal بیشتر باشند جا به جایی حباب هوایی

اساس عملکرد دستگاه از طریق وارد شدن نیرو به آب تحت فشار بود و متعاقب آن جا به جایی حباب هوایی در نمونه‌ها

میانگین آن $3/11 \pm 3/43$ بود که این دو گروه جهت تایید صحت عملکرد دستگاه تست Fluid filtration بودند. در گروه لیزر حداقل میزان ریز نشت آپیکالی بر حسب واحد ($\mu\text{L}/\text{min}/\text{cm H}_2\text{O}$) برابر با $0/31 \pm 4/35$ و حداکثر میزان ریز نشت آپیکالی $11/43$ و میانگین آن $2/88 \pm 4/35$ محاسبه گردید. در گروه شاهد حداقل میزان ریز نشت بر حسب واحد ذکر شده برابر با $0/78 \pm 13/24$ و میانگین آن $5/34 \pm 3/13$ به دست آمد.

میانگین‌های محاسبه شده برای هر دو گروه فوق نشان می‌دهد که میزان ریز نشت آپیکالی در مدت زمان شش دقیقه در گروه لیزر در مقایسه با گروه شاهد کمتر می‌باشد (جدول ۱) و آزمون کولموگروف- اسمیرنوف (Kolmogorov-Smirnov) نمودار ۱). آزمون آماری کولموگروف- اسمیرنوف p-value=۰/۳۱۸ و p-value=۰/۹۷۹ نشان داد که توزیع فراوانی داده‌های ریز نشت آپیکالی در گروه لیزر و شاهد از توزیع نرمال برخوردار می‌باشد. آزمون آماری t مستقل نیز نشان داد که بین برداشت لایه اسمیر توسط لیزر Nd:YAG و کاهش میزان ریز نشت ارتباط معناداری وجود ندارد (p-value=۰/۳۰۵).

(air bubble) نیز بیشتر خواهد بود. حرکت حباب هوایی در لوله مویین در واحد زمان به عنوان fluid transport در نظر گرفته شد [۲،۲۴،۲۵]. سپس هر دو عکس مربوط به یک نمونه وارد کامپیوتر شده و پس از ویرایش به کمک نرم افزار TechDig Version 2.0d کالیبره و digitizer شدند تا میزان جایه جایی خطی حباب هوایی به جا به جایی حجمی تبدیل شده و میزان نشتی آب محاسبه شود.

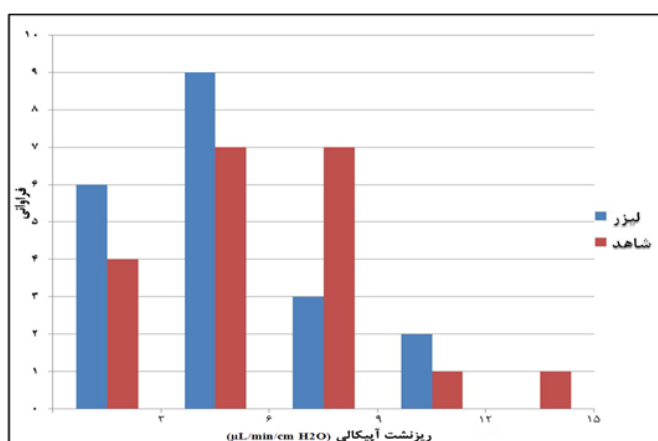
داده‌ها پس از جمع آوری توسط نرم افزار آماری SPSS مورد تجزیه و تحلیل قرار گرفت. میزان ریز نشت آپیکالی در گروه لیزر و شاهد به صورت "میانگین \pm انحراف معیار" گزارش شد. جهت آنالیز داده‌ها از آزمون کولموگروف- اسمیرنوف (Smirnov) استفاده گردید و آزمون t مستقل استفاده گردید ($\alpha = 0/05$).

یافته‌ها

در گروه کنترل منفی جا به جایی حباب رؤیت نشد و ریز نشت آپیکالی وجود نداشت (میانگین و انحراف معیار صفر ثبت گردید). در گروه کنترل مثبت حداکثر جا به جایی حباب را داشتیم و ریز نشت آپیکالی نسبت به تمام گروه‌ها بیشتر و

جدول ۱: مقایسه میانگین ریز نشت آپیکالی بر حسب (μL/min/cm H₂O) در گروه شاهد و لیزر

گروه	تعداد	حداقل	حداکثر	میانگین \pm انحراف معیار	p-value
لیزر	۲۰	۰/۳۱	$11/43 \pm 2/88$		
شاهد	۲۰	$0/78 \pm 13/24$	$5/34 \pm 3/13$		$0/305$



نمودار ۱: فراوانی میزان ریز نشت بر حسب (μL/min/cm H₂O) در گروه شاهد و لیزر

بحث

در آزمایشات بررسی میزان ریزنشت به منظور جلوگیری از ریزنشت جانبی، سطوح خارجی دندان‌ها پوشانیده می‌شود. در این مطالعه جهت نیل به این هدف از لاک ناخن و موم چسب استفاده شد. همچنین از آن جا که مطالعه تنها به منظور اندازه گیری ریزنشت آپیکالی بود، حفره‌ی دسترسی هم توسط واریش و آمالگام مسدود شد تا نشت کرونالی در نتایج آزمایش تأثیر سوء نداشته باشد [۲۶، ۲۳، ۲۲].

در شرایط آزمایشگاهی برای ارزیابی قابلیت سیل کنندگی مواد و دستگاه‌ها میزان ریزنشت اندازه گیری می‌شود تا کنون Fluid penetration tests، Bacterial penetration، Penetration of Dye penetration tests، transport Gas chromatography و radioisotops آپیکالی مورد ارزیابی قرار گرفتند. تکنیک Dye Penetration عموماً در مطالعات مربوط به ریزنشت، به این دلیل کاربرد دارد که آسان انجام می‌شود و نیاز به تجهیزات پیچیده ندارد، اما نتایج آن questionable می‌باشد [۲۷]. به جهت حساسیت و قابل اعتماد بودن نتایج آزمایشی، در این مطالعه از روش آزمایشات روز جهانی می‌باشد [۱۴، ۱۲، ۸، ۲۸].

در مطالعه‌ی دیگری Zhang و همکاران [۲۹] اظهار داشتند که میانگین ریزنشت چه در یک سوم میانی و چه در یک سوم آپیکالی در گروه لیزر نسبت به گروه کنترل کمتر بود اما این اختلاف معنادار نبود که با مطالعه‌ی حاضر همخوانی دارد. البته روش اندازه گیری ریزنشت در مطالعه‌ی ذکر شده Dye penetration بود که با مطالعه‌ی حاضر متفاوت بود.

Moura و همکاران [۲۱] در مطالعه‌ی مشابهی بیان کردند که در گروه لیزر میزان ریزنشت در یک سوم آپیکالی به مرتبه از گروه کنترل کمتر است که با نتایج مطالعه‌ی حاضر تفاوت دارد که علت این مغایرت را می‌توان به نوع سیلر مورد استفاده و همچنین روش متفاوت ثبت ریزنشت مرتبط است. در مطالعه مذکور از سیلر AH plus استفاده شد اما در مطالعه‌ی کنونی سیلر AH26 مورد استفاده قرار گرفت. در ضمن روش محاسبه ریزنشت در آزمایش فوق Dye penetration بود.

Depraet و همکاران [۲۰] در بررسی خود مبنی بر توانایی سیل کنندگی یک اپوکسی رزین بعد از تابش لیزر Nd:YAG

با در نظر گرفتن محدودیت‌های تحقیق حاضر، بر اساس یافته‌های مطالعه فلی می‌توان چنین نتیجه‌گیری کرد که کاربرد لیزر Nd:YAG در درمان کانال ریشه بر روی میزان ریز نشست آپیکالی تاثیری ندارد.

تشکر و قدردانی

بدین وسیله از اعضای محترم شورای پژوهشی دانشگاه علوم پزشکی رفسنجان و نیز جناب آقای دکتر محمود شیخ فتح الهی که در مراحل انجام این تحقیق زحمات زیادی متقبل شدند، تقدیر و تشکر می‌گردد.

Fluid filtration و Dye Penetration معناداری در میزان ریز نشست در بین گروه‌های کنترل و دریافت کننده لیزر مشاهده نمی‌شود. نتایج مطالعه حاضر نیز در همین راستا می‌باشد.

در نهایت بر اساس نتایج بدست آمده در گروه لیزر Nd:YAG میزان ریز نشست آپیکالی نسبت به گروه کنترل کمتر بود، اگر چه این تفاوت از نظر آماری معنی‌دار نبود. لذا احتمالاً با افزایش حجم نمونه و البته شاید با بررسی میزان ریز نشست در فواصل زمانی متفاوت، نتایج دقیق‌تری بدست خواهد آمد.

نتیجه‌گیری

References

- Vivan RR, Bortolo MV, Duarte MA, Moraes IG, Tanomaru-Filho M, Bramante CM. Scanning electron microscopy analysis of RinsEndo system and conventional irrigation for debris removal. *Braz Dent J* 2010; 21(4):305-9.
- Cobankara FK, Adanir N, Belli S, Pashley DH. A quantitative evaluation of apical leakage of four root-canal sealers. *Int Endod J* 2002; 35(12):979-84.
- Nischith KG, Srikumar GP, Razvi S, Chandra RV. Effect of smear layer on the apical seal of endodontically treated teeth: an ex vivo study. *J Contemp Dent Pract* 2012; 13(1):23-6.
- Xie XL, Chen MM, Liu LH, Yin LY, Jiang Y. The effect of smear layer on apical microleakage. *Shanghai Kou Qiang Yi Xue* 2008; 17(6):616-20.
- Karagoz-Kucukay I, Bayirli. An apical leakage study in the presence and absence of the smear layer. *Int J Endodon* 1994; 27(2):87-9.
- Timpawat S, Vongsavan N, Messer HH. Effect of removal of the smear layer on apical microleakage. *J Endod* 2001; 27(5):351-3.
- Hovland EJ, Dumsha TC. Leakage evaluation in vitro of the root canal sealer cement Sealapex. *Int Endod J* 1985; 18(3):179-82.
- Gutmann JL. Adaptation of injected thermoplasticized gutta-percha in the absence of the dentinal smear layer. *Int Endod J* 1993; 26(2):87-92.
- Stamatova IV, Vladimirov SB. The smear layer in the root canal and its removal. *Folia Med (Plovdiv)* 2004; 46(4):47-51.
- Cameron JA. The synergistic relationship between ultrasound and sodium hypochlorite: a scanning electron microscope evaluation. *J Endod* 1987; 13(11):541-5.
- Ribeiro RG, Marchesan MA, Silva RG, Sousa-Neto MD, Pécora JD. Dentin permeability of the apical third in different groups of teeth. *Braz Dent J* 2010; 21(3):216-9.
- Sen BH, Wesselink PR, Türkün M. The smear layer: a phenomenon in root canal therapy. *Int Endod J* 1995; 28(3):141-8.
- Johnson WT, Craig Noblett W. Cleaning and shaping. In: Torabinejad M, Walton RE. Principles and practice of endodontics. 4th Ed, st.Louis, Saunders, 2008. pp. 258-82.
- Goya C, Yamazaki R, Tomita Y, Kimura Y, Matsumoto K. Effects of pulsed Nd: YAG laser irradiation on smear layer at the apical stop and apical leakage after obturation. *Int Endod J* 2000; 33(3):266-71.
- Moritz A, Schoop U, et al. The bactericidal effect of Nd: YAG, Ho:YAG, and Er:YAG laser irradiation in the root canal: an in vitro comparison. *J Clin Laser Med Surg* 1999; 17(4):161-4.
- De Moura-Netto C, de Moura AA, Davidowicz H, Aun CE, Antonio MP. Morphologic changes and removal of debris on apical dentin surfaces after Nd:YAG laser and diode laser irradiation. *Photomed Laser Surg* 2008; 26(3):263-6.
- Michiels R, Vergauwen TE, Mavridou A, Meire M, De Bruyne M, De Moor RJ. Investigation of coronal leakage of root fillings after smear-layer removal with EDTA or Nd:YAG lasing through capillary-flow porometry. *Photomed Laser Surg* 2010; 28(2):43-50.

18. Park DS, Lee HJ, Yoo HM. Effect of Nd:YAG laser irradiation on the apical leakage of obturated root canals: an electrochemical study. *Int J Endodon* 2001; 34(4):318-21.
19. Esteves-Oliveira M, de Guglielmi CA, Ramalho KM, Arana-Chavez VE, de Eduardo CP. Comparison of dentin root canal permeability and morphology after irradiation with Nd:YAG, Er:YAG, and diode lasers. *Lasers Med Sci* 2010; 25(5):755-60.
20. Depraet FJ, De Bruyne MA, De Moor RJ. The sealing ability of an epoxy resin root canal sealer after Nd:YAG laser irradiation of the rootcanal. *Int Endod J* 2005; 38(5):302-9.
21. Moura-Netto C, Guglielmi Cde A, Mello-Moura AC, Palo RM, Raggio DP, Caldeira CL. Nd:YAG laser irradiation effect on apical intracanal dentin - A microleakage and SEM evaluation. *Braz Dent J* 2011; 22(5):377-81.
22. Vasconcelos BC, Bernardes RA, Duarte MA, Bramante CM, Moraes IG. Apical sealing of root canal fillings performed with five different endodontic sealers: analysis by fluid filtration. *J Appl Oral Sci* 2011; 19(4):324-8.
23. Camilleri J, Gandolfi MG, Siboni F, Prati C. Dynamic sealing ability of MTA root canal sealer. *Int Endod J* 2011; 44(1):9-20.
24. Ozer SY, Basaran E. Evaluation of microleakage of root canal fillings irradiated with different output powers of erbium, chromium:yttrium-scandium-gallium-garnet laser. *Aust Endod J* 2013; 39(1):8-14.
25. Usumez A, Cobankara FK, Ozturk N, Eskitascioglu G, Belli S. Microleakage of endodontically treated teeth with different dowel systems. *J Prosthet Dent* 2004; 92(2):163-9.
26. Yildirim T, Er K, Taşdemir T, Tahan E, Buruk K, Serper A. Effect of smear layer and root-end cavity thickness on apical sealing ability of MTA as a root-end filling. *Oral Surg Oral Med Oral Pathol Oral Radiol Endod* 2010; 109(1):67-72.
27. Camps J, Pashley D. Reliability of the dye penetration studies. *J Endod* 2003; 29(9):592-4.
28. Miserendino LJ, Levy GC, Rizouli IM. Effects of Nd:YAG laser on the permeability of root canal wall dentin. *J Endod* 1995; 21(2):83-7.
29. Zhang C, Kimura Y, Matsumoto K, Harashima T, Zhou H. Effect of pulsed Nd: YAG laser irradiation on root canal wall dentin with different laser initiators. *J Endod* 1998; 24(5): 352-5.

Effect of Nd: YAG Laser Irradiation on the Apical Seal of Root Canal-Treated Teeth

Mohammadmahdi Yaghoobi Khorasani*, Alireza Taghdisi Shabani

Abstract

Introduction: Good apical seal plays a critical role in the success of endodontic treatment and the smear layer reduces the efficacy of the apical seal. The aim of this study was to evaluate the effect of Nd: YAG laser irradiation on the apical seal of root canal-treated teeth using the fluid filtration technique.

Materials and methods: In this in vitro study, 44 human maxillary central incisors were selected. After preparation, the specimens were randomly assigned to 4 groups: group A, the control group ($n=20$); group B, the laser-treated group ($n=20$); group C, the positive control group ($n=2$); and group D, the negative control group ($n=2$). All the groups were prepared using the crown-down technique. Group B was irradiated with Nd: YAG laser before obturation. Groups A, B and D were obturated with gutta-percha and sealer and group C was obturated with gutta-percha and without sealer. The coronal end of the specimens were sealed with amalgam and then stored in an incubator for one week. Then, the outer surface of groups A, B and C, except for 2 mm in the apical area, and group D were entirely covered with two layers of nail polish and one layer of sticky wax. Apical microleakage was then evaluated using fluid filtration technique. Data were analyzed with SPSS 18, using Kolmogorov-Smirnov and independent t-test ($\alpha=0.05$).

Results: The means of apical leakage in the laser and control groups were 4.35 ± 2.88 and $5.34 \pm 3.13 \mu\text{L}/\text{min}/\text{cm}^2 \text{H}_2\text{O}$, respectively, with no significant differences (p value = 0.305).

Conclusion: Under the limitations of this study, use of Nd: YAG laser in root canal therapy had no significant effect on apical microleakage.

Key words: Leakage, Nd: YAG laser, Smear layer.

Received: 13 Oct, 2014 **Accepted:** 3 Mar, 2015

Address: Assistant Professor, Department of Endodontics, School of Dentistry, Rafsanjan University of Medical Sciences, Rafsanjan, Iran

Email: m.yaghoobi@yahoo.com

Citation: Yaghoobi Khorasani MM, Taghdisi Shabani A. Effect of Nd: YAG laser irradiation on the apical seal of root canal-treated teeth. J Isfahan Dent Sch 2015; 11(3):230-238.